

TGA 를 이용한 셀룰로오스계 활성탄소의 제조 공정 최적화에 관한 연구

윤창훈, 박연희, 오규환*, 박종래*

성균관대학교 섬유공학과, *서울대학교 섬유고분자공학과

1. 서 론

활성탄소는 안정화, 탄화 및 활성화 공정을 거쳐 제조되는 표면적인 큰, 미세다공성의 탄소로서 탈색, 탈취 및 탈균 등 다목적으로 사용되고 있는 대표적인 흡착제이다[1,2]. 단순히 흡착력만의 관점에서 본다면 탄화물에 미세공의 도입이 최대화가 되는 조건을 활성탄소 제조의 최적조건이라고 볼수 있다. 그러나 활성화시의 수율과 활성탄소의 경도 등을 함께 고려하면 탄소함량, 최종수율 및 미세공도입량 등과 같이 얼핏 상반되어 보이는 요소들을 최적화하기 위해서는 각 제조 공정에 대한 정밀한 연구가 요구된다. 그러나 지금까지의 대부분의 연구결과는 단지 시료의 흡착성능만으로 그 최적조건을 제시하고 있다. 따라서 본 연구에서는 다공성 섬유질이며 각질적 특성을 가지고 있는 벗짚으로부터 활성탄소를 제조할 때 각 제조 단계의 조건을 최적화하기 위하여 TGA상에서 모사 실험을 행하여 이를 실제 연속 생산형 furnace에 적용할 때 생길 수 있는 문제점을 집중 조사하였다.

2. 실 험

2.1 시 료

본 실험에서 사용한 시료는 남부 지방에서 재배되는 동진벼이며, 약 3 cm길이로 잘라 110 °C에서 건조시켜 사용하였다.

2.2 열분석

TGA(Du Pont, Hi-ResTM TGA 2950)를 이용하여 전구체인 벗짚의 열분해 거동을 조사하기 위하여 공기와 질소 분위기하에서 20 °C/min의 승온 속도로 열중량 분석을 하였고, Kinetic parameters는 초기 승온 속도를 40 °C/min으로 하고 Resolution을 3~6까지 변화시켜 가며 열분해 거동을 조사한 후 식 (1)을 이용하여 계산하였다[3].

$$\ln\left(\frac{q}{T^2}\right) = \left(-\frac{Ea}{R}\right)\left(\frac{1}{T}\right) + \ln\left(\frac{AR}{Ea} n(1-a)^{n-1}\right) \quad (1)$$

여기서, q : heating rate

T : temperature at the maximum peak

Ea : activation energy

R : gas constant

A : pre-exponential factor

n : reaction oder

α : conversion rate

2.3 TGA상에서의 활성탄소 제조 공정 Simulation

탄화 및 활성화 공정의 열처리 조건을 조사하기 위하여 TGA상에서 Figure 1과 같이 simulation 실험을 하였다. 질소 분위기하에서 승온 속도 20 °C/min으로 800 °C까지 열

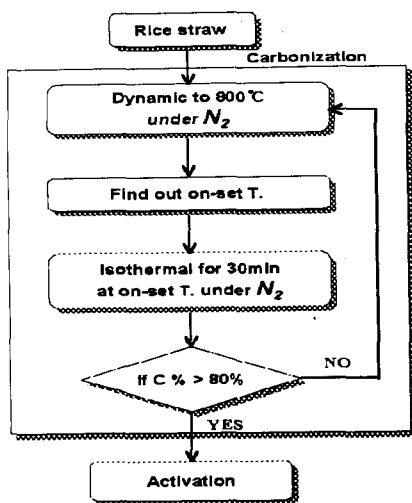


Figure 1. Simulation scheme to find out the heat treatment condition.

탄화 및 활성화를 시켰다. 탄화시는 질소를 4 l/min으로 유입시켰고, 활성화 시에는 스텀발생장치에서 발생된 스텀을 50 ml/min으로 유입시켰다.

2.5 비표면적 및 세공용적 평가

TGA(Du Pont, Hi-ResTM TGA 2950)을 이용하여 n-heptane에 침지된 시료의 탈착량으로부터 식 (2)와 (3)에 의해 각각 BET 비표면적과 세공용적을 구하였다[4].

$$S_{BET} = 3.85 \times 10^5 \times a_{mi} + 57.7 \quad (2)$$

$$V_t = 1.54 \times a_T + 0.0557 \quad (3)$$

여기서, S_{BET} : BET surface area (m^2/g) V_t : pore volume (cm^3/g)

a_{mi} : amount of thermodesorbed n-heptane (mol/g)

a_T : total adsorption capacity of n-heptane from TGA

3. 결과 및 고찰

3.1 분위기 기체의 영향

Figure 2는 분위기 기체에 따른 볏짚의 열분해 거동을 나타낸 것으로서 공기 중에서 분해

Table 1. Rice straw decomposition in N_2 and air heating rate : 20 $^{\circ}\text{C}/\text{min}$

Atmosphere	Ea (kJ/mol)	Decomposition rate (min^{-1})	Solid yield (%)	T_i ($^{\circ}\text{C}$)	T_{max} ($^{\circ}\text{C}$)
N_2	160	5.69×10^{12}	30	230	280
Air	161	2.76×10^{14}	18	230	250

중량 분석을 하여 얻은 thermogram으로부터, 열분해가 시작되는 온도(onset temp.)를 찾고 이 온도에서 30분간 열처리하여 시료를 얻었다. 시료를 다시 질소분위기 하에서 같은 방법으로 열중량분석을 하여 탄소 함량이 80 % 이상이 될 때 까지 Figure 1의 방법으로 탄화 열처리 조건을 찾고자 하였다(이하 이와 같은 탄화법을 '축차식 탄화법'이라 칭함). 활성화는 수증기를 포함하는 질소를 50 ml/min로 유입시켜 승온 속도 20 $^{\circ}\text{C}/\text{min}$ 으로 800 $^{\circ}\text{C}$ 까지 열중량 분석하여 열분해 초기 온도와 최대 온도를 찾아 이 온도에서 2 시간동안 열처리하여 시료를 얻었다.

2.4 활성탄소 제조

자체 설계 제작한 회전식 튜브 가열로를 이용하여 시료를 5 g/min의 속도로 연속식으로 공급하면서 TGA상에서 찾은 열처리 조건에서

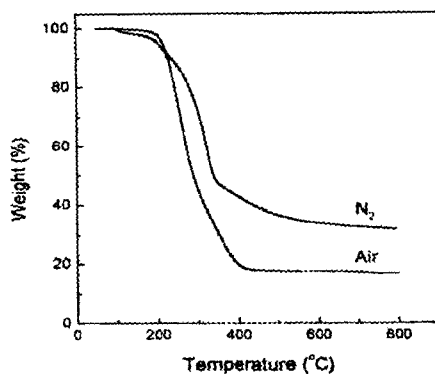


Figure 2. TGA thermograms of rice straw in air and N_2 atmosphere heating rate : 5 $^{\circ}\text{C}/\text{min}$.

진행됨에 따라, 초기 열분해 온도가 고온쪽으로 이동하고 수율 또한 계속 증가하여 F 시료의 경우, 800 $^{\circ}\text{C}$ 까지 거의 열분해가 일어나지 않음을 알 수 있다. 따라서 이 결과를 바탕으로 TGA에서 축차식 탄화조건을 현장 furnace에 적용하고 그 결과를 현장 furnace 내에서

가 질소분위기 하에서보다 훨씬 빠르게 진행됨을 알 수 있다. 실제로 Table 1에서 보는 바와 같이 공기를 분위기 기체로 사용하게 되면, 질소의 경우에 비해, 활성화 에너지와 열분해 시작 온도는 같으나 최대 열분해 온도와 수율은 낮고, 열분해 속도는 100배 이상 빠름을 알 수 있다. 따라서 탄화물의 수율과 열분해 반응의 조절의 용이성 면에서 질소 분위기가 보다 나은 조건임을 알 수 있다.

3.2 탄화 공정 simulation 및 현장 furnace 예의 적용성

Figure 3은 Figure 1의 축차식 탄화법으로 제조된 시료의 TGA thermogram이다. 그럼에서 알 수 있듯이, 열처리가 축차식으로

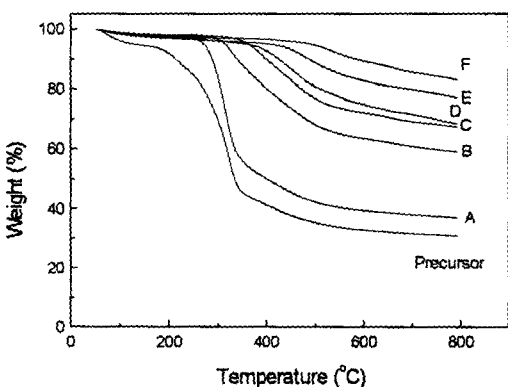


Figure 3. TGA thermograms of samples prepared according to Figure 1 ; A:heat-treated precursor at 230 $^{\circ}\text{C}$, B:heat-treated A at 280 $^{\circ}\text{C}$, C: heat-treated B at 300 $^{\circ}\text{C}$, D:heat-treated C at 340 $^{\circ}\text{C}$, E:heat-treated D at 390 $^{\circ}\text{C}$, F:heat-treated E at 430 $^{\circ}\text{C}$.

의 승온속도를 Table 2에 나타내었다. 현장에 설치된 연속식 가열로는 열처리 온도가 정해지면 자동적으로 승온속도가 정해지도록 되어 있기 때문에 390 $^{\circ}\text{C}$ 이상의 열처리 온도에서 열처리하게 되면 탄화물의 극심한 열분해로 인하여, TGA상에서와는 달리, Ash화하는 현상을 보였다. 이러한 현상의 원인을 조사하기 위하여, 340 $^{\circ}\text{C}$ 까지 열처리된 시료를, 390 $^{\circ}\text{C}$ 로 고정된 가열로의 승온속도인 48 $^{\circ}\text{C}/\text{min}$ 와 같은 승온속도로 열분해 거동을 조사하였다. *Figure 4에서 보는 바와 같이, 분위기 기체가 순수 질소가 아니라 외부에서 공기가 유입되어 그 함량이 10 %만 되어도 급격한 열분해가 일어나며 공기의 유입량이 증가하여 30 % 정도가 되면, 380 $^{\circ}\text{C}$ 에서 열분해가 급격하게 진행되고 있음을 알 수 있다. 연속식 가열로의 경우, 390 $^{\circ}\text{C}$ 이상에서 탄화시킬 수 없었던 이유는 가열로 내부로 산화성 가스인 공기가 유입됨으로써 Ash화되기 때문이다.* 따라서, 탄화 공정에서 양질의

탄화물을 얻기 위해서는 반응기 내의 산화성 가스의 유입을 철저히 막아야 한다.

Table 2. Applicability and true heating rate in Rotary Tube Furnace.

HTT (°C)	Applicability to Furnace	Heating rate of Furnace (°C/min)
230	O	22
280	O	28
300	O	31
340	O	39
390	X	48
430	X	57
480	X	64

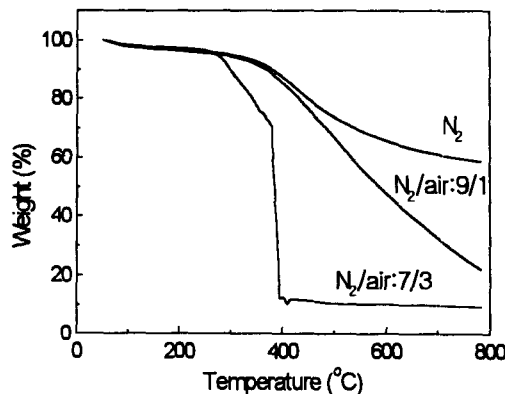


Figure 4. TGA thermograms of sample D in various ratio of N_2 and air.

3.3 탄화 및 활성탄소의 비표면적 및 세공 용적

실제 회전식 가열로로부터 얻은 탄화물 및 활성탄소의 비표면적 및 세공용적을 Table 3에 나타내었다. 400 °C보다 높은 온도에서 활성화를 하게 되면 탄화시료의 극심한 열분해로 Ash화

Table 3. Surface area and pore volume.

HTT (°C)	Surface area (m^2/g)	Pore volume (ml/g)
280	340	0.12
300	420	0.14
340	500	0.15
400(activation)	800	0.34
상용품	1370	0.44

되었기 때문에, 활성화 최대 온도를 400 °C로 정하고

그 온도에서 활성화 시료를 제조하였다. 그러나 400 °C에서 활성화시킨 시료의 비표면적과 세공 용적 값은 상용품의 그것들보다 낮게 나왔다.

4. 결론

열분해 반응조절의 용이성 면에서 질소분위기가 더욱 효과적임을 알았다.

실제 연속식 가열로에, 모의 실험에서 찾은 열처리 조건을 적용시켰을 때, 390 °C 이상의 열처리 온도에서는 Ash화가 되었는데, 이 원인은 가열로 내부에 공기가 유입되었기 때문이었다. 따라서 분위기 기체를 엄격히 조절해 주어야 한다.

참고문헌

1. J. W. Hassler, "Active Carbon", Chemical Publishing Co., New York, 1951.
2. N. Grassie and I. C. McNeil, *J. Polym. Sci.*, **27**, 207 (1958).
3. J. Seferis and Salin, *J. Appl. Poly. Sci.*, **47**, 849 (1993).
4. D Pan, M. Jaroniec, and L. Klinik, *Carbon*, **34**, 1109 (1996).